

Рухомий склад**ЖИВУЧОСТЬ**

УДК 629.463.5

*Рейдемайстер А. Г., канд. техн. наук,
Костенко Ю. А., Сороколет А. В., інженери,
Дніпропетровський національний
університет желеzодорожного
транспорта імені академіка В. Лазаряна
(Дніпропетровськ, Україна)*

ОПРЕДЕЛЕНИЕ ЦИКЛИЧЕСКОЙ ВЯЗКОСТИ РАЗРУШЕНИЯ (ЖИВУЧЕСТИ) ЖЕЛЕЗНОДОРОЖНОЙ ОСИ ПРИ ИСПЫТАНИИ НА ИЗГИБ

Ключевые слова: циклическая вязкость разрушения, коэффициент интенсивности напряжений, циклическое нагружение, усталостная трещина, железнодорожные оси.

Введение

Изучение усталостного разрушения металлов представляет большой интерес, как для конструкторов-машиностроителей, так и для испытателей новых машин и механизмов. При испытании новых деталей или узлов, изготовленных по новым технологиям или с использованием новых материалов, для испытателей предстоит задача определить характеристики прочности и ресурса.

В большинстве случаев инициатором усталостных разрушений бывают технологические дефекты (неизврары, неметаллические включения, волосовины, закалочные трещины, плохое качество обработки поверхности и т. д.), которые или сами по себе являются трещинами, или приводят к зарождению трещин после некоторого времени эксплуатации. В этом случае срок службы детали будет зависеть от склонности к развитию трещин, от дефектов, полученных при изготовлении или в процессе эксплуатации.

Постановка проблемы

К железнодорожным осям предъявляются высокие требования по надежности и долговечности, т. к. от них зависит безопасность движения. В процессе эксплуатации оси приобретают различные

дефекты, наиболее опасными из которых являются усталостные трещины. Трещины сильные концентраторы напряжений, которые, развиваясь, приводят к усталостному разрушению.

Исследованиями установлено, что процесс развития трещины может быть весьма длительным и зависит от скорости ее роста [1]. Качественным показателем сопротивления развитию усталостной трещины является циклическая вязкость разрушения K_c [2] (критический коэффициент интенсивности напряжений).

Определение K_c для испытуемого материала является сложной задачей, т.к. при различных условиях проведения испытаний можно получить отличные результаты.

Обзор исследований и публикаций

Наиболее известные в специализированной литературе методы исследования трещиностойкости металлов принадлежат В. Т. Тронченко [2]. В монографии изложен комплекс вопросов, связанных с зарождением и развитием усталостных трещин, а также влияние на эти процессы различных условий.

В справочниках [8] под ред. Ю. Мураками коллективом японских специалистов подготовлены материалы по различным классам задач о трещинах – в пластинках, оболочках, массивных элементах, сварных швах, кусочно-однородных телах.

Практические изучения развития трещин на лабораторных образцах описывали в публикациях В. Т. Тронченко [14], Е. О. Вакуленко [10–13].

В данной публикации описано исследование трещиностойкости для массивных деталей определенного размера, формы и механической обработки.

Коэффициент интенсивности напряжений (КИН)

Процесс зарождения трещины сопровождается образованием пластических микродеформаций на поверхности детали, которые со временем работы под воздействием циклической нагрузки приводят к зарождению микротрещин, последние

перерастают в трещины и приводят к разрушению детали. Скорость роста уже образовавшейся трещины зависит от многих факторов (механических свойств материала, термообработки, характера цикла нагружения и проч.).

Многочисленными исследованиями установлено, что распространение трещины от ее появления до полного разрушения детали проходит три характерных этапа [3], различающиеся скоростью ее роста. Первый этап (рис. 1) характеризуется небольшой скоростью, т. к. трещина еще мала, а ее продвижение происходит преимущественно вдоль полос скольжения (дефекты поверхности в виде темных полосок и разветвленных линий на поверхности детали, образовавшихся вследствие местных напряжений, превышающих предел текучести металла [4]). Основную часть составляет второй этап, когда трещина растет с примерно постоянной скоростью в направлении, перпендикулярном наибольшим нормальным напряжениям. На третьем этапе, когда трещина имеет уже достаточно большие размеры, скорость ее роста быстро увеличивается, и происходит практическое мгновенное хрупкое разрушение. Такое разделение на этапы носит условный характер, но, тем не менее, позволяет изучать каждую стадию в отдельности, поскольку рост усталостной трещины на каждом этапе подчиняется разным закономерностям.

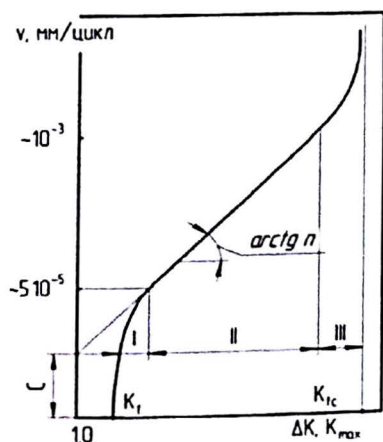


Рис. 1 – Диаграмма роста усталостных трещин.

Согласно первой теории хрупкого разрушения, разработанной Гриффитсом [5], в

ЖИВУЧІСТЬ

качестве критерия, характеризующего поле напряжения у вершины трещины, используется коэффициент интенсивности напряжения (КИН):

$$K_1 = \sigma \sqrt{\pi b}, [\text{МПа}\sqrt{\text{м}}] \quad (1)$$

где σ – напряжение в сечении трещины (без учета ослабления);

b – длина трещины.

КИН определяет условия роста трещины: нестабильный рост при статической нагрузке наступает, когда K_1 достигает значения K_{Ic} , называемого критическим коэффициентом интенсивности напряжения или вязкостью разрушения.

При циклическом нагружении трещина может подрастать в каждом цикле нагружения при значениях $K_1 < K_{Ic}$, и после достаточно большого числа циклов N наступает окончательное разрушение.

При циклическом нагружении в вершине трещины будут возникать максимальные σ_{\max} и минимальные σ_{\min} напряжения цикла, которым соответствуют коэффициенты $K_{I\max}$ и $K_{I\min}$. Наиболее широко в качестве характеристики цикла используют размах КИН:

$$\Delta K_1 = K_{I\max} - K_{I\min}. \quad (2)$$

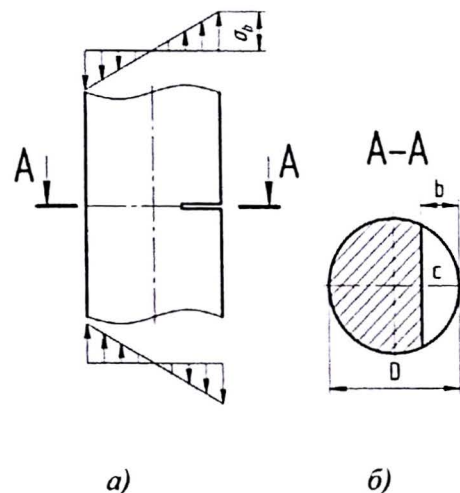


Рис. 2 – Схема трещины в длинном цилиндрическом изгибающем стержне.

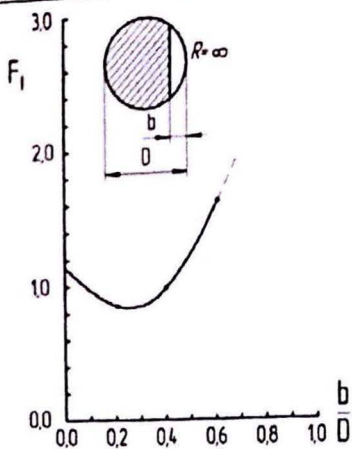


Рис. 3 – Поправочный коэффициент для круглого поперечного сечения с надрезом.

Обзор существующих методов определения циклической вязкости разрушения (живучести) железнодорожных осей

Циклическая вязкость разрушения (живучесть) вагонных чистовых осей, изготовленных из стали ОС [6] с пределом прочности $\sigma_a=580...650$ МПа и ударной вязкостью КСУ при $+20$ °C $34...49$ Дж/см², должна составлять $K_{fc} \geq 60$ МПа·м^{0.5} [7] и определяется экспериментально.

Оси испытывают на чистый изгиб при нагружении по схеме балки на двух опорах с приложением нагрузки к подступичной части оси (рис. 4).

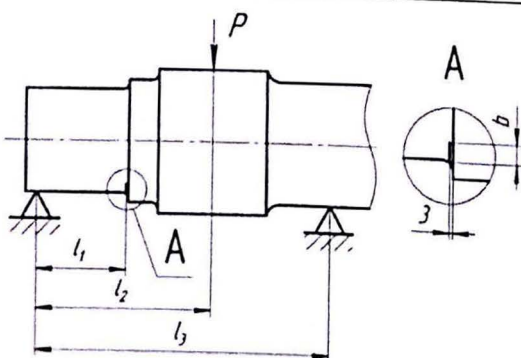


Рис. 4 – Схема нагружения оси и надрез.

Коэффициент вязкости разрушения железнодорожной оси отличается от K_{fc} для материала лабораторных образцов в силу влияния фактора масштабности и наличия упрочнения стали оси, поэтому проводят натурные испытания на образцах чистовых железнодорожных осей. При определении K_{fc} создают условия для зарождения и роста

усталостной трещины до разрушения испытуемого образца.

Для сокращения времени испытаний, чтобы ускорить момент зарождения трещины, в шейке оси на расстоянии 3 мм от торца предподступичной части делают надрез (см. рис. 4 вид А), от которого должна образоваться трещина. Форма надреза: ширина 1...1,5 мм и вершина заострена под углом 30°, глубина – 13...19 мм.

Значение показателя циклической вязкости разрушения K_{fc} , т. е. критического КИН при котором происходит разрушение образца для случая поверхностной трещины в длинном цилиндрическом изгибающем стержне (рис. 2) определяется формулой [8]:

$$K_{fc} = \sigma_{\max} \sqrt{\pi \cdot b_{kp}} \cdot F_1 \left(\frac{b_{kp}}{D} \right), \quad (3)$$

где σ_{\max} – максимальное напряжение цикла переменного нагружения в исследованном сечении брутто А-А (без учета ослабления от концентраторов напряжения);

b_{kp} – значения глубины усталостной трещины, при которой произошло разрушение образца;

$F_1 \left(\frac{b_{kp}}{D} \right)$ – поправочный коэффициент,

функция, зависящая от отношения критической длины трещины b_{kp} и диаметра образца D .

Цели исследований

Целями исследований были изучение параметра, который характеризует сопротивление развитию усталостной трещины, изучение метода определения K_{fc} и само определение коэффициента вязкости разрушения железнодорожной оси K_{fc} для образцов одной конкретной партии, изготовленных из стали одной плавки.

Проведение испытаний

Для проведения испытания достаточно половинки оси, поэтому чистовые оси разрезают посередине. Полученные части оси (образцы) подготавливают к проведению

испытаний по определению циклической вязкости разрушения, выполняя надрез с острой вершиной. Далее с образцами проводят испытания на стенде, предназначенном для циклических испытаний металлоконструкций и оборудованном пульсатором, который создает циклическую нагрузку с коэффициентом асимметрии цикла 0,1 и максимальным усилием цикла, обеспечивающим создание напряжений в месте расположения трещины, близких к пределу выносливости материала оси. Стенд также должен быть оборудован силоизмерителями, поддерживающими заданные нагрузки в процессе испытаний в автоматическом режиме, и счетчиком циклов. Подробное описание эксперимента приведено в [9]. Длину трещины на поверхности оси регулярно измеряют.

Результаты

Графически зависимости длины трещины L и номинальных наибольших напряжений цикла от числа циклов приведены на рис. 5...7 (был проведен эксперимент на трех образцах, изготовленных из двух осей одной плавки).

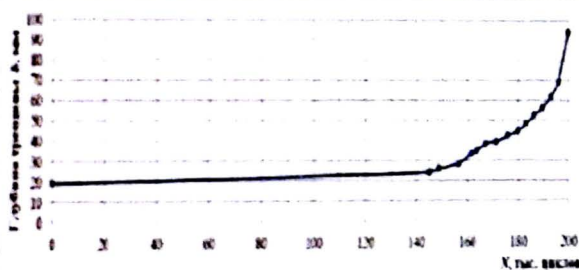


Рис. 5 – Рост трещины на образце №1. Начальная глубина трещиноподобного дефекта (надреза) 19 мм. Максимальные напряжения цикла в зоне шейки оси в брутто сечении – 220 МПа.

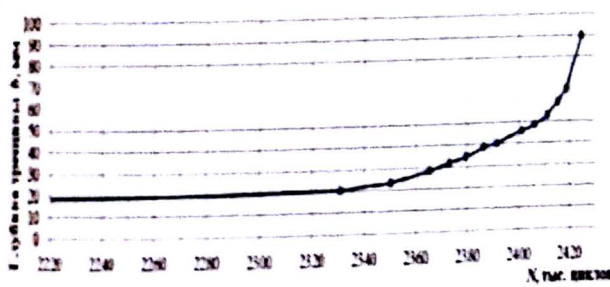


Рис. 6 – Рост трещины на образце №2. Начальная глубина трещиноподобного дефекта (надреза) 13 мм. Максимальные напряжения цикла в зоне шейки оси в брутто сечении 140 МПа – до 1500 тыс. циклов, 160 МПа – до 1900 тыс. циклов, 205 МПа – до 2050 тыс. циклов, 220 МПа – с 2050 тыс. циклов до разрушения.

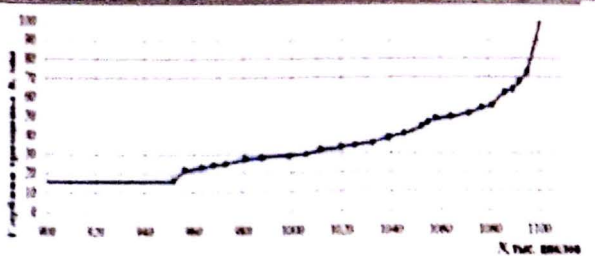


Рис. 7 – Рост трещины на образце №3. Начальная глубина трещиноподобного дефекта (надреза) 13 мм. Максимальные напряжения цикла в зоне шейки оси в брутто сечении – 170 МПа

Фотографии сечений оси после излома приведены на рис. 8...10. Хорошо видны следующие зоны [1]:

- 1) зона стабильного развития трещины, характеризуемая наличием микрополос, ориентированных нормально по отношению к направлению роста трещины;
- 2) зона ускоренного усталостного развития трещины, характеризуемая смешанным микрорельефом (микрополосы и ямки);
- 3) зона излома.



Рис. 8 – Излом фрагмента оси №1 после испытаний.



Рис. 9 – Излом фрагмента оси №2 после испытаний.



Рис. 10 – Излом фрагмента оси №3 после испытаний.

Надрез вместе с первой и второй областями занимает 60...70 % поперечного сечения. Усталостные линии от надреза распространяются сначала круговыми фронтами, которые затем выпрямляются так,

РУХОМІЙ СКЛАД

що граници всіх областей паралельні лінії надряза.

По формулі (3), используя справочні дані [3] було отримано для образців №1 і №2 $K_K = 206 \text{ MPa}\sqrt{m}$, а для образца №3 $K_K = 200 \text{ MPa}\sqrt{m}$.

Выводы

1. Коефіцієнт вязкості разрушення характеризує поле напружень у вершині трещини. Може определяться для статичного разрушения металла и для циклического.

2. В практическій часті дослідів були проведені випробування трьох осей для залізничного подвижного складу з метою визначення циклическої вязкості разрушения, яка склава

$K_K = 206 \text{ MPa}\sqrt{m}$ для образців 1 і 2 і $K_K = 200 \text{ MPa}\sqrt{m}$

для образца 3. Розница в значеннях не перевищує 3 %, що свідчить про стабільних властивостях образців і недавністі експеримента: глубина начального надряза, робочим напруженням цикла.

3. При коефіцієнте інтенсивності напруження $K < 200 \text{ MPa}\sqrt{m}$ швидкість розвиття трещини не перевищує 3-5 mm/цикл , при більших значеннях коефіцієнта інтенсивності напруження швидкість значною мірою збільшилась і склала (35...60) mm/цикл .

Література

1. Іванова В. С. Природа усталості металів / В. С. Іванова, В. Ф. Терентьєв. - М.: Металургія, 1975. - 455 с.

2. Трощенко В. Т. Трещиностойкость металлов при циклическом нагружении / В. Т. Трощенко, В. В. Покровский, А. В. Прокопенко. - Київ: Наук. думка, 1987. - 256 с.

3. Кудрявцев П. И. Нераспространяющиеся усталостные трещины / П. И. Кудрявцев. - М.: Машиностроение, 1982. - 171 с.

4. ГОСТ 21014-88. Прокат черных металлов термины и определения дефектов поверхности. - Введ. 1990-01-01. - М.: Изд-во стандартов, 1989. - 62 с.

5. Золотаревский В. С. Механические свойства металлов: учеб. для вузов / В. С. Золотаревский. - Металлургия, 1983. - 352 с.

6. ГОСТ 4728-2010 Заготовки осевые для железнодорожного подвижного состава. Технические условия

7. НБ ЖТ ТМ 02-98. Нормы безопасности на железнодорожном транспорте. Металлопродукция для железнодорожного подвижного состава. Нормы безопасности (приняты и введены в действие указанием МПС России от 24.07.1998 N Г-896у) (ред. от 21.08.2012).

8. Справочник по коефіцієнтам інтенсивності напруженій: В 2-х томах. Т. 2: Пер. с. англ. / Под ред. Ю. Мураками. - М.: Мир, 1990. - 1016 с.

9. СТ ССФЖТ ТМ 153-2003 Оси чистові вагонні. Определение циклическої вязкости разрушения. Типовая методика испытаний.

10. Вакуленко І. О. Про взаємозв'язок структурних перетворень при втомі вуглецевої сталі з особливостями будови поверхонь руйнування / І. О. Вакуленко // Вісник Дніпропетр. нац. ун-ту заліз. трансп. ім. акад. В. Лазаряна. - 2010. - Вип. 32. Д.: Вид-во ДНУЗТ, 2010.

11. Вакуленко, І. О. Втома металевих матеріалів в конструкціях рухомого складу / І. О. Вакуленко. - Д. : Маковецький, 2012. - 152 с.

12. Вакуленко, І. О. Вплив дисперсності структурних складових вуглецевої сталі на опір руйнуванню / І. О. Вакуленко, М. А. Грищенко, О. М. Перков // Вісник Дніпропетр. нац. ун-ту заліз. трансп. ім. акад. В. Лазаряна. - 2007. - Вип. 19. - Д.: Вид-во ДНУЗТ, 2007. - С. 237-239.

13. Вакуленко, І. О. Оцінка коефіцієнта інтенсивності напружень для умов неконтрольованого зростання тріщини / І. О. Вакуленко, М. М. Грищенко, О. М. Перков // Сб. наук. пр. «Строительство, материаловедение, машиностроение». - 2007. - Вип. 41. - Ч. 2. - С. 58-61.

14. Трощенко В. Т. Порогові коефіцієнти інтенсивності напруженій і пределы выносливости металлов / В. Т. Трощенко // Проблемы прочности. - 2000, № 5.